

《報文》 HWAHAK KONGHAK Vol. 19, No. 2, April 1981, pp.139—146
 (Journal of the Korean Institute of Chemical Engineers)

H₂-H₂O 및 H₂-N₂ 분위기 하에서 Si₃N₄-Al 계의 반응

최태운 · 이홍립 · 김창은

연세대학교 요업공학과

(접수 1981. 3. 5)

Reaction of the System Si₃N₄-Al in H₂-H₂O and H₂-N₂ Atmospheres

Tae-Woon Choi, Hong-Lim Lee, and Chang-Eun Kim

Department of Ceramic Engineering,
 Yonsei University, Seoul 120, Korea

(Received March 5, 1981)

요 약

Si₃N₄ 분말에 Al 분말을 가하여 1300°C 온도와 H₂-H₂O (P_{O₂} = 2.37 × 10⁻¹⁴ atm) 및 H₂-N₂ (1:1) 분위기 하에서 반응시켜 생성물을 얻었다.

X 선 회절 분석결과 β'-Si₃N₄, Si₂ON₂, X-phase가 관찰되었으며 기공율은 15% 이하까지 얻을 수 있었다.

또, H₂-N₂ 분위기에서 생성한 β'-Si₃N₄보다 H₂-H₂O 분위기에서 얻은 것이 더욱 산화 저항성이 크다는 것을 알 수 있었다.

ABSTRACT

The pellets of the Si₃N₄-Al system were heated at 1300°C in the atmospheres of H₂-H₂O (P_{O₂} = 2.37 × 10⁻¹⁴ atm) and H₂-N₂ (1:1) systems, respectively.

X-ray diffraction analysis showed that β'-Si₃N₄, Si₂ON₂ and X-phase were formed after the reaction at 1300°C in both the atmospheres. The porosities of the heated specimens were measured as low as 15%.

It was observed that the β'-Si₃N₄ formed in the H₂-H₂O system is more stable in the ox-

idizing atmosphere than that formed in the H₂-N₂ system.

1. 서 론

Si₃N₄는 강한 공유결합성의 물질이어서 1500°C 이상에서 가압소결(hot pressing)법에 의하지 않고서는 치밀한 소결체를 얻기 어렵다. 가압소결법은 Si₃N₄분말에 MgO¹⁾, Al₂O₃²⁾, Y₂O₃³⁾, ZrO₂⁴⁾ 등의 첨가제를 가하여 흑연 mold 중에서 1700~1800°C, 200~300kg/cm²으로 성형한다. 또 Si₃N₄는 다른 산화물과 sialon 등의 안정한 고용체를 만들기 때문에¹⁾ Si₃N₄-AlN-Al₂O₃계^{5), 6)}, MgO-Si₃N₄-Al₂O₃계⁷⁾, Si₃N₄-SiO₂-Y₂O₃⁸⁾ 등에 관한 많은 연구가 행해지고 있다.

본 연구에서는 가압소결법에 의하지 않고 비교적 저온인 1300°C에서 H₂-H₂O계 및 H₂-N₂계의 기체분위기 하에서 Si₃N₄에 Al 분말을 가한 Si₃N₄-Al계의 소결을 행하고 그 소결정도와 그 때 생성하는 조성 및 제반물성을 밝히고자 한다.

Table 1. The chemical composition of sample material

Si ₃ N ₄	98.2(%)
Al	0.2
C	0.12
Ca	0.12
Fe	0.65
Si	0.31

2. 실험 방법

2.1 시료

본 실험에 사용한 Si₃N₄시료는 분말상(200mesh)의 일본산 특급시약으로서 그것의 화학성분은 Table 1에 나타낸 바와 같다. Si₃N₄는 α형과 β형의 두 가지 형태가 있는데 X-선 회절 분

석 결과 본 실험에 사용된 시약은 α-Si₃N₄가 주를 이루고 β-Si₃N₄가 일부 포함되어 있었다.

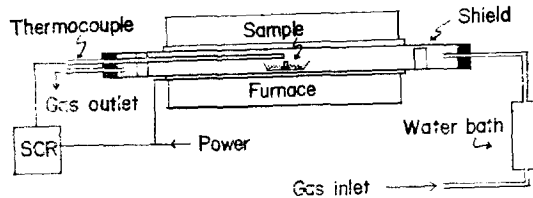


Fig. 1. Schematic view of experimental apparatus

2.2. 시편 제조

Si₃N₄시료(200mesh)에 금속분말의 Al(200 mesh)를 각각 5, 10, 20, 30, 40, 50 wt% 씩 첨가하여 균일한 혼합을 위하여 아세톤용액 속에서 5시간동안 습식혼합을 행한 후 적외선 건조기로 24시간동안 건조한 분말상의 시료 0.7g을 취하여 steel mold로 2000 kg/cm²의 압력을 가하여 14 mmφ × 2.3 mm의 pellet 상으로 만든 것을 시편으로 하였다.

2.3. 실험 장치

반응로는 Fig. 1에서 알 수 있는 것처럼 tube 형 siliconit 를 발열체로 하는 전기로를 사용했으며, 온도조절은 SCR 방식에 의해 행했으며 온도측정은 열전대(Pt-Pt-Rh₁₃)를 사용하였는데 이 때 온도의 오차는 ±5°C였다. 산소분압을 조절하기 위해서는 25°C의 포화수증기중의 산소분압을 열역학⁹⁾적으로 계산하여 2.37 × 10⁻¹ atm으로 하였고 시편은 siliconit 발열체의 중심부에 설치하여 그 윗부분에 열전대를 놓았다. 전기로 속으로 흘려보내는 carrier gas는 H₂O-H₂ 또는 H₂-N₂(1:1)의 혼합기체를 1기압으로 유지하여 1ml/s의 유속으로 조절하였다.

전기로의 승온속도를 5°C/min로 하여 소정의 온도에서 일정시간을 유지한 후 다시 실온까지 자연서냉을 시켜 microbalance로 칭량했고

생성물은 X-선 분말회절법 [CuK α (Ni-filter), 30 KV, 15 mA]을 이용하여 표면의 상변화를 관찰했으며 이들 시료의 미세구조는 성형체의 단면을 etching 한 후에 주사형 전자현미경에 의해 관찰하였다. 그리고 생성물에 대한 기공율측정은 Umebayashi¹⁰⁾ 등이 행한 것과 같은 방법으로 행하였다.

3. 결과 및 고찰

3. 1. H₂O-H₂분위기 하에서 Si₃N₄-Al계

Si₃N₄(95wt%) + Al(5wt%)계의 반응기구를 생각해 보면 H₂O-H₂(P_{O₂} = 2.37 × 10⁻¹⁴ atm) 분위기 중의 산소는 시료중의 질소와 (1)식과 (2)식의 반응에 의해서 상호교환되어 SiO₂ 및 Al₂O₃를 형성하고 이 표면층은 조직이 치밀하므로 더 이상의 반응은 이 표면층을 통하여 산소와 질소가 상호 확산함으로써 확산이 융속과정이 된다.¹¹⁾

Fig. 2에서 질량증가가 시간에 대해서 포물선의 모양을 나타내고 있는 것은 바로 확산이 융속과정임을 보여주고 있는 것이다. X-선 회절분석결과 표면층에

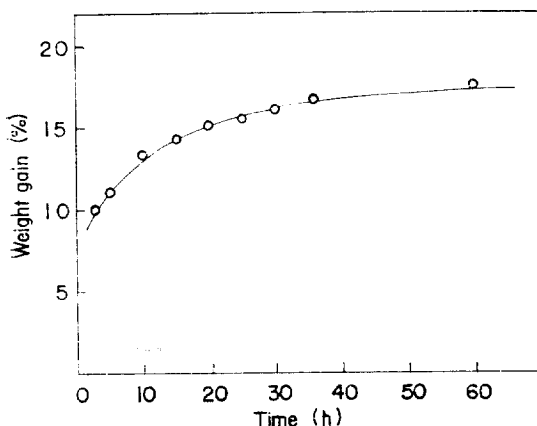
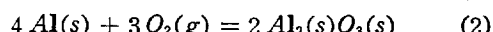
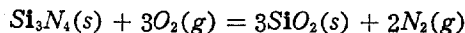


Fig. 2. Time dependence of the weight increase at 1300°C in H₂O-H₂(P_{O₂} = 2.37 × 10⁻¹⁴ atm) for the specimens of the 95 wt% Si₃N₄ + 5 wt% Al



생성된 SiO₂와 Al₂O₃는 각각 β -cristobalite와 α -Al₂O₃임을 알 수 있었고 반응시간이 증가할수록 β -cristobalite와 α -Al₂O₃의 X-선 강도는 증가하다가 반응시간이 40시간 이상에서는 거의 비슷한 경향을 나타내고 있다. 또한 반응시간이 15시간까지 급격한 질량증가율을 보여주고 있는데 이 구간에서는 표면층의 형성이 빠르기 때문인 것으로 생각되어지며 반응시간 60시간 이상에서는 더 이상 무게변화가 없는데 이때의 질량증가는 약 17.5%(이론질량증가율의 59%)이다.

이와같은 원인은 첨가한 Al 중의 일부가 증발되었기 때문인 것으로 생각된다. Fig. 3은 반응시간에 대한 소결체의 기공률을 보여주고 있는데 반응시간이 15시간 이상에서는 거의 비슷한 기공률(약 17%)을 나타내고 있는데 이것은 본 연구조건과 같은 비교적 저온에서도 Si₃N₄의 소결이 가능하다는 것을 보여준다. 그리고 Fig. 4의 전자현미경 사진에서 겹은 겹이 기공을 나타내고 있는데 여기서 알 수 있듯이 반응시간이 증

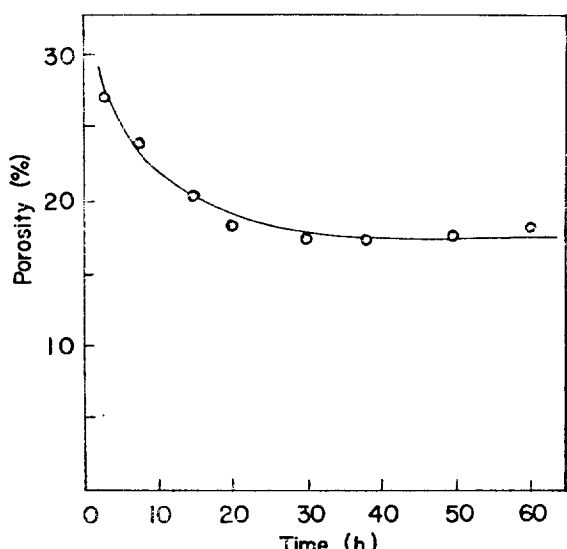


Fig. 3. Time dependence of the porosities of the 95 wt% Si₃N₄ + 5 wt% Al specimens at 1300°C in H₂O-H₂(P_{O₂} = 2.37 × 10⁻¹⁴ atm)

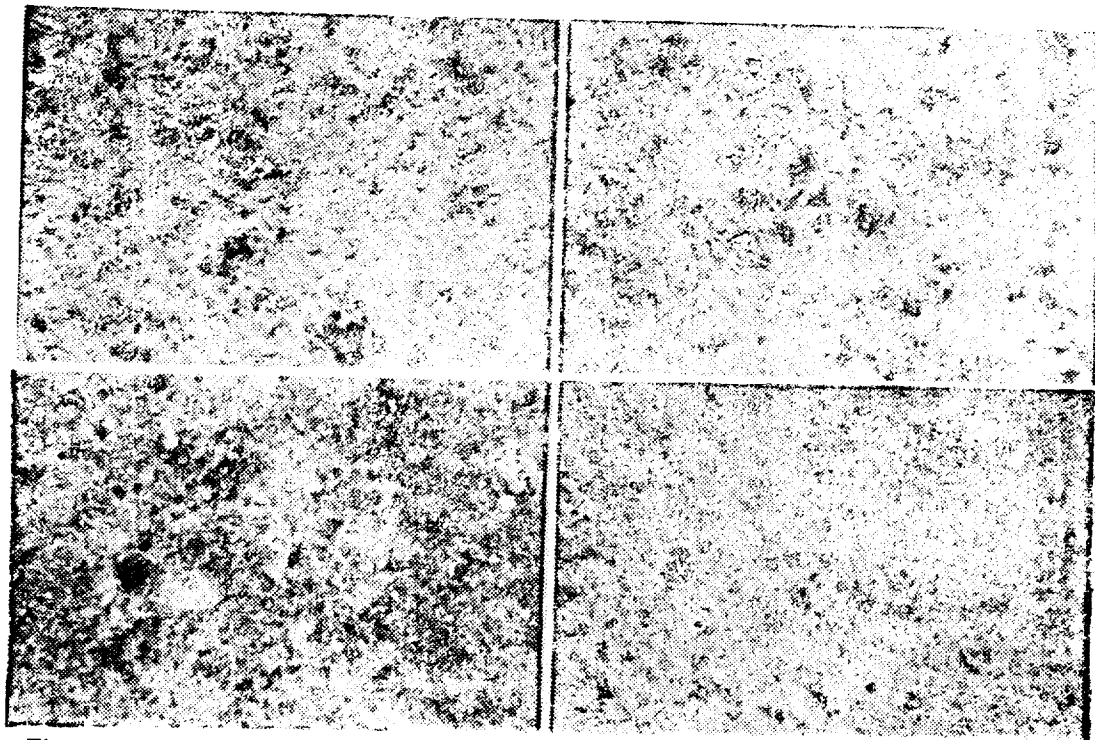


Fig. 4. SEM photographs of the sintered Si_3N_4 pellets containing 5 wt% Al at 1300°C in $\text{H}_2\text{O}-\text{H}_2$ ($P_{\text{O}_2} = 2.37 \times 10^{-14}$ atm)

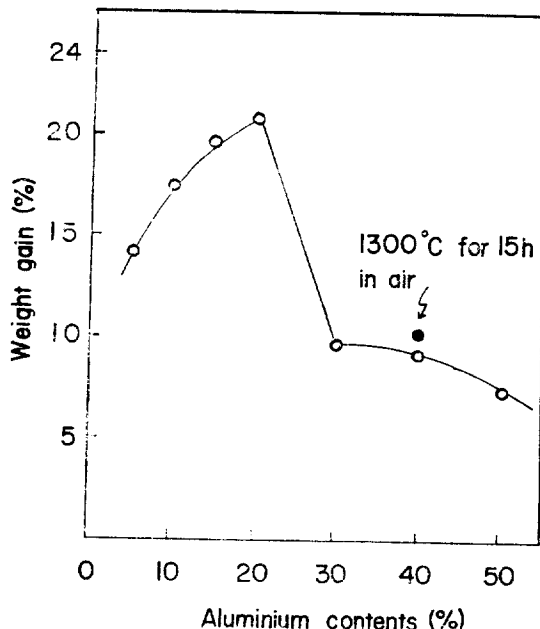


Fig. 5. Weight increase of the Si_3N_4 -Al specimens prepared at 1300°C for 15h in $\text{H}_2\text{O}-\text{H}_2$ ($P_{\text{O}_2} = 2.37 \times 10^{-14}$ atm)

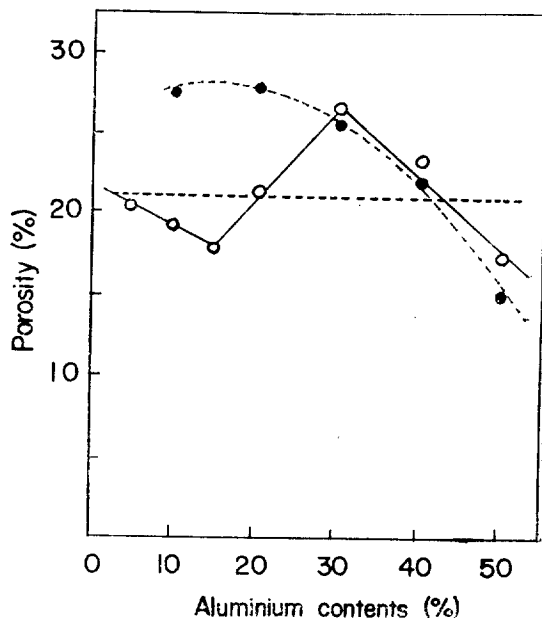
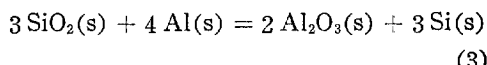


Fig. 6. Porosity of the Si_3N_4 -Al specimens prepared at 1300°C for 15h in both the atmospheres of $\text{H}_2\text{O}-\text{H}_2$ and H_2-N_2

가할수록 기공률은 감소하는 경향을 나타내고 있다.

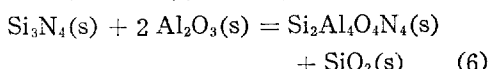
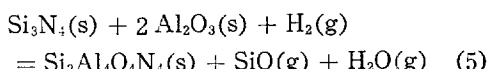
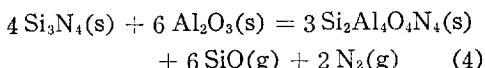
Fig. 5은 Al 첨가량에 대한 질량증가율을 나타내고 있는데 1300°C에서 15시간 반응시켰을 때 Al 첨가량이 20 wt% 까지는 질량증가율이 거의 직선적으로 증가를 하는데 이것은 앞에서 서술한 (1), (2)식과 다음의 (3)식과 같은 반응에 의한 것이다.

먼저 Si₃N₄-Al o] H₂O-H₂ 분위기 하에서 평형 분압의



산소와 반응을 하여 β -cristobalite 와 α -Al₂O₃로 되며 SiO₂와 Al 간의 테르მ it 반응(thermit process)에 의해 α -Al₂O₃와 Si가 생성된다. 그러나 Al 첨가량이 20~50 wt%에서는 질량증가율이 급격히 감소를 하는데 이것은 주로 과정으로 존재하는 Al의 증발에 의한 것으로 믿어지며 이 때 생성하는 α -Al₂O₃가 β -Si₃N₄와 치환형 고용체를 이루면서 (4), (5), (6)식에 의해서 반응하여 β -Si₃N₄, 즉 Si₂Al₄O₄N₄가 생성한다고 믿어진다.⁵⁾

Fig. 6(실선)에서 보는 바와 같이 Al 첨가량에 대한 기공률은 약 20%



내외로 Umebayashi¹⁰⁾가 얻은 질화성형체의 기공률 33%보다 더 치밀한 조직을 얻을 수가 있었으며 Al 첨가량이 50wt%인 경우에는 약 16% 정도의 기공률을 나타내었다. 표면에 생성한 생성물에 대한 X-선 회절 분석결과를 Fig. 7에 나타낸 바와 같이 Al 첨가량이 증가할 수록 β -cristobalite의 X-선 강도는 저하되면서 α -Al₂O₃와 Si의 X-선 강도는 증가한다. 이와같은 원인은 Al 첨가량이 증가할 수록 테르밋 반응(thermit process)이 보다 활발해 지므로 Si 및 Al₂O₃의 생성량이 증가하기 때문인 것으로 생각되며 또

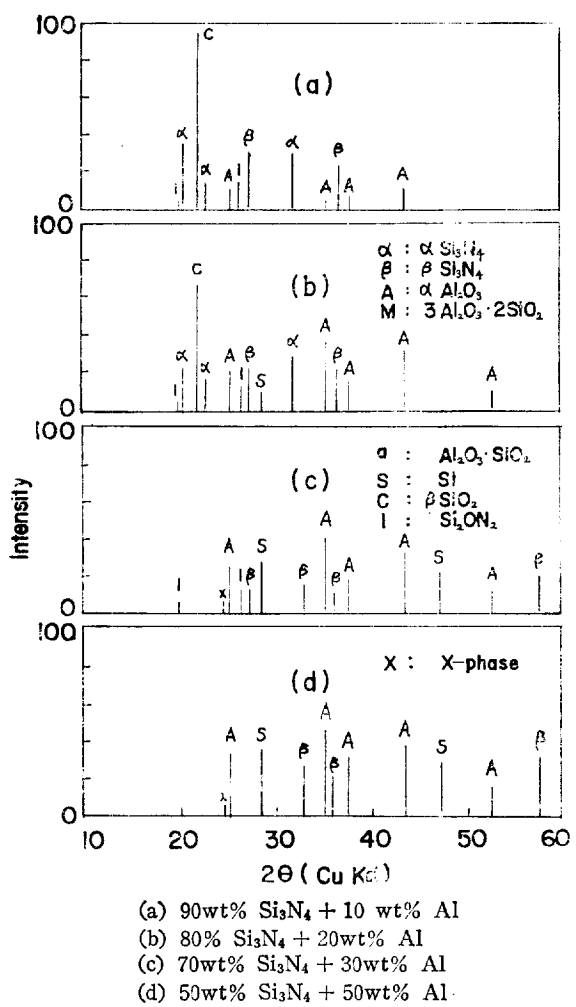
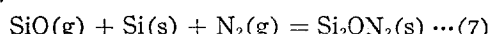


Fig. 7. X-ray diffraction patterns of the specimens prepared at 1300°C for 15h in H₂O-H₂ ($P_{\text{O}_2} = 2.37 \times 10^{-14}$ atm)

한 α -Si₃N₄의 X-선 강도는 Al 첨가량이 30wt% 이상에서는 소멸되어 버리는데 이것은 수소분위기 하에서 β' -Si₃N₄ 즉 sialon으로 변하기 때문이다.

그리고 본 실험의 범위에서 X-phase⁵⁾가 일부 생성되었으며, Al 첨가량이 30wt% 이하에서 silicon oxynitride가 생성되었는데 이 반응은 다음 (7)식에 의한 반응으로 생각된다.¹²⁾ 또한 β -Si₃N₄의 X-선 강도는 Al 첨가량이 증가할 수록



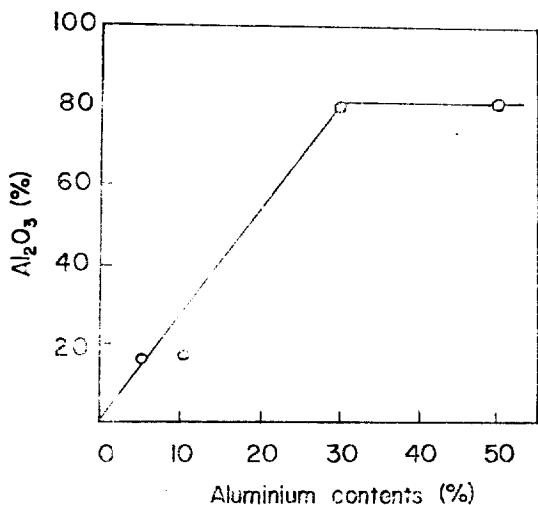


Fig. 8. Al₂O₃ contents in the formed Si₃N₄ with respect to (at 1300°C for 15h in H₂O-H₂)

저각도로 이동을 하는데 이것은 Si₃N₄와 Al₂O₃간의 치환형 고용체를 이루면서 질소원자와 산소원자의 교환에 의해서 면간거리가 증가하기 때문이다. 이와같이 Si₃N₄-Al₂O₃간의 치환형 고용체를 이루면서 (4), (5), (6)식에 의해 β' 상의 비교적 안정한상을 얻을 수가 있었다. 일반적으로 β' 상의 생성온도는 1500°C 이상에서 생성이 된다고 알려져 있지만⁵⁾ 이와같이 H₂O-H₂분위기 하에서 미분말의 Al를 첨가함으로써 비교적 저온범위에서도 β' 상을 얻었는데 이것은 낮은 산소분압하에서 Al이 액상으로 되어 Si₃N₄시료 내부로 침투되면서 Si와 Al 그리고 질소원자와 산소원자가 쉽게 치환되어 비교적 저온에서 $\beta'-Si_3N_4$ 가 생성될 수 있었던 것으로 믿어진다. 즉, 낮은 산소분압하에 Al 금속분말을 가한 것은 β' 상의 생성반응을 촉진한 효과를 나타낸 것으로 추정된다. Fig. 8는 β' 상에 존재해 있는 Al₂O₃함유량을 본 실험에서 첨가한 Al첨가량에 대해 X-선 회절 분석결과로 부터 구한 격자상수값 a,c로 부터 구한 것이다.⁵⁾ Fig. 8에서 첨가한 Al에 비해서 β' 상중의 Al₂O₃의 함량이 훨씬 큰 것은 반응이 주로 시료입자의 표면에서 일어나기 때문에 X-선 분석결과는 이 표면에 생성된 β' 상이 주로 나타나기 때문인 것으로 믿어진다.

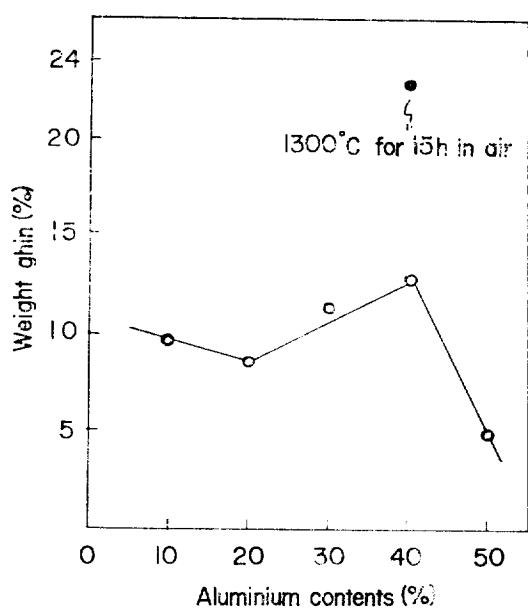


Fig. 9. Weight increase of the Si₃N₄-Al specimens prepared at 1300°C for 15h in H₂-N₂(1:1)

3. 2. H₂-N₂(1:1)분위기하에서의 Si₃N₄-Al계

Fig. 9는 Al첨가량에 대한 질량증가율을 나타내고 있는데 Al첨가량이 40wt%까지는 약간 질량이 증가하다가 50wt%에서는 급격히 감소를 하는데 이것은 H₂O-H₂ 분위기에서의 경우 처럼 과잉으로 존재하는 Al이 증발을 계속 일으키기 때문이다. 또 Fig. 6의 접선은 Si₃N₄-Al계의 소성체에 대한 기공률이 Al첨가량이 증가할 수록 감소하는 경향을 보여주고 있는데 이것은 Al첨가량이 50wt% 근처에서는 새로운 물질의 생성 즉, (4), (5), (6)식에 의한 β' 상이 생성하여 조직이 치밀해지기 때문이다라고 믿어진다.

각 소성체에 대한 X-선 회절 분석결과를 Fig. 10에 나타내었다. Al첨가량이 증가할 수록 β -cristobalite의 X-선 강도는 저하되고 (1), (2), (3)식의 반응에 의해 α -Al₂O₃ 및 Si의 X-선 강도는 증가한다. 또한 Al첨가량이 증가할 수록 Si₂ON₂의 X-선 강도는 저하되며 H₂O-H₂ 분위기에서 처럼 X-phase가 일부 생성되었다. 그리고 H₂O-H₂의 경우와 같이 Si₃N₄-Al₂O₃간의 치환형

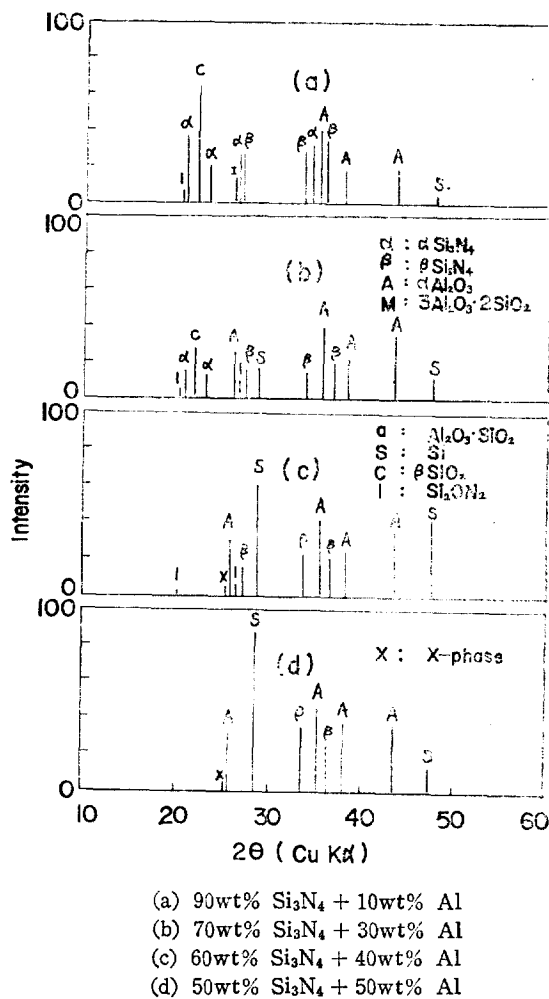


Fig. 10. X-ray diffraction patterns of the specimens prepared at 1300°C for 15h in H₂-N₂ (1 : 1)

고용체를 이루면서 β' 상의 X-선 강도가 증가하고 있다. Fig. 11은 β' 상에 존재해 있는 Al₂O₃의 함유량을 각 Al첨가량에 대해 X-선 회절 분석을 하여 격자상수값 a, c로부터 구한 것이다¹⁵. Fig. 5 및 Fig. 9에서 Al의 첨가량이 40wt%일 때에 표시한 검은 점(•)은 각각 H₂O-H₂, H₂-N₂ 분위기 하에서 제조한 Si₃N₄(60wt%) + Al(40wt%)에 대한 산화저항을 측정하고자 공기분위기 하에서 1300°C에서 15시간 반응시킨 것에 대한 질량증가율을 나타내고 있다. H₂O-H₂분위기 하에서 얼은 소결체의 경우는 약 1%의 질량증가가

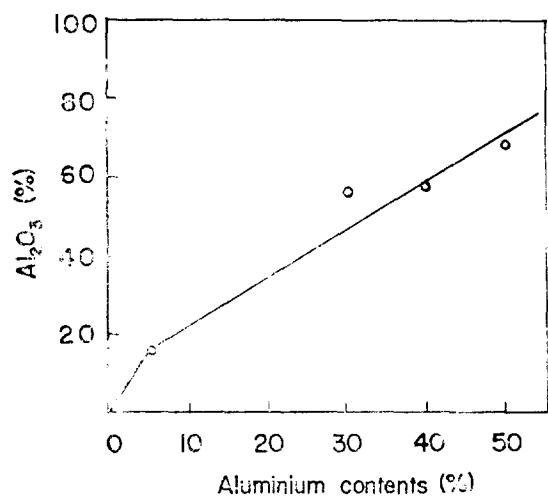


Fig. 11. Al₂O₃ contents included in Si₃N₄ with Al addition(at 1300°C for 15h in H₂-N₂(1 : 1))

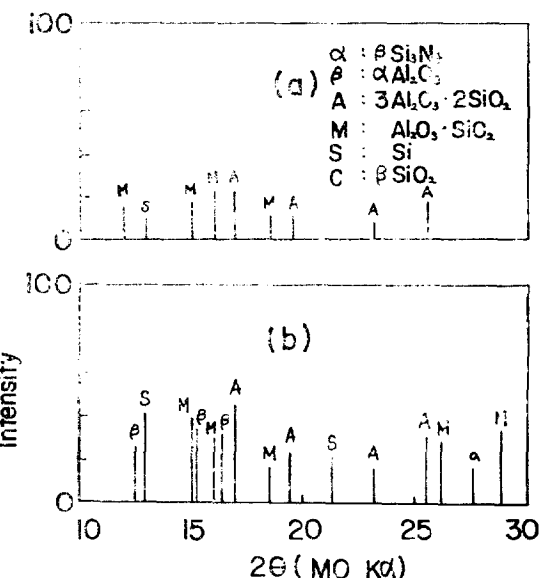


Fig. 12. X-ray diffraction patterns of the specimens which were heated at 1300°C for 15h in air prepared from 60 wt% Si₃N₄ and 40wt% Al at 1300°C in

을 보이는데 반해 H₂-N₂분위기 하에서 얼은 소결체의 경우는 약 10%의 질량증가율을 나타내고 있다. Fig. 12의 X-선 회절 분석결과에 의해서도 H₂O-H₂분위기에서 얼은 소결체의 경우

가 H_2-N_2 분위기 때 보다 더 안정한 β' 상을 이루고 있는 것을 알 수가 있다. 즉 Fig. 12(a)의 경우는 β' 상이 소멸되어 나타나지 않지만 Fig. 12(b)의 경우에는 β' 상이 그대로 존재하는 것을 보아 Fig. 12(b)의 경우가 표면에 더 안정한 β' 상을 이루고 있다는 것을 알 수 있다. 이것은 $H_2-N_2(1:1)$ 분위기는 그 자체가 갖고 있는 질소가 Si_3N_4 의 질소와 분위기중의 산소와의 치환을 방해하지만 H_2O-H_2 분위기는 이 치환반응을 촉진하기 때문에 β' 상은 H_2O-H_2 분위기 하에서 생성한 것이 보다 안정하고 치밀한 조직을 이루고 있기 때문이라고 추정된다.

4. 결 론

H_2O-H_2 및 H_2-N_2 분위기 하에서 Si_3N_4 분말에 Al분말을 가하여 1300°C에서 반응시켜 관찰하여 다음과 같은 결론을 얻었다.

(1) 낮은 산소분압하에서 Al 금속분말이 Si_3N_4 분말의 입자내부로 확산하면서 비교적 저온에서 sialon을 생성하여 조직이 치밀한 소결체를 얻을 수 있었는데 이때의 기공률은 20% 이하까지 얻을 수 있었다.

(2) H_2-N_2 분위기 보다 H_2-H_2O 의 분위기 하에서 얻은 β' 상이 보다 더 안정하며 산화저항이 큰 결과를 얻었는데 이것은 N_2 를 포함하지 않은 H_2O-H_2 분위기는 β' 상의 생성반응을 보다 촉진하

는 반면, N_2 를 포함하는 분위기는 Si_3N_4 중의 질소원자와 분위기중의 산소원자의 치환을 방해하기 때문이라 믿어진다.

Reference

- Y. Oyama and Kamigaito, Yogyo-Kyokai-Shi, 81(1973), 290.
- W.A. Sanders, Am. Cer. Soc. Bull., 56 (1977), 189.
- G.E. Gazza, Am. Cer. Soc. Bull., 54 (1975), 778.
- Y. Inomata and Y. Hasegawa, Yogyo-Kyokai-Shi, 84(1976), 600.
- K.H. Jack, J. Mat. Sci., 11(1976), 1135.
- M.Mitomo, Yogyo-Kyokai-Shi 86(1978), 526.
- F.F. Lange and S.C. Singhal, J. Am. Cer. Soc., 61(1978), 53.
- F.F. Lange and S.C. Singhal, J. Am. Cer. Soc., 60(1977), 249.
- O. Kubaschewski and C.B. Alcock, "Metallurgical Thermochemistry," Pergamon Press (1979), 380.
- S. Umebayashi, Yogyo-Kyokai-Shi, 84 (1976), 45.
- H.L. Lee and T.W. Choi, J.Kor. Cer. Soc., 49(1980), 197.
- A. Nobuyuki and T. Yamada, Yogyo-Kyokai-Shi, 86(1978), 20.